

総合技術コンサルタント 正会員 ○山本克文  
鳥取大学工学部 正会員 白木渡

舞鶴工事 正会員 松保重之  
鳥取大学工学部 正会員 高岡宣善

1. まえがき 都市高速道路高架橋主桁部分の信頼度を評価する場合、それが最も危険と考えられる自動車荷重満載時、すなわち渋滞状態における荷荷重モデルを考える必要がある。高速道路における渋滞について考えれば、一般道路のように交差点や信号によって交通が遮断されることによって生ずる単発的なものではなく、定常的にしかも長い区間にわたると考えられる。本研究では、このような渋滞時の荷荷重を図-1に示すように車両進行方向の座標 $x$ を助変数とする不規則分布荷重<sup>1)</sup>(不規則模式)と見なすことができるとして、都市高速道路における渋滞時の自動車列を特徴づける様々な要因をできるだけ詳細に不規則分布荷重に反映させることでモデル化について考える。

2. シミュレーション手法による不規則分布荷重の確率特性値の評価 不規則分布荷重 $\bar{q}(x)$ を特徴づけるためには、期待値 $\bar{q}(x)$ 、分散 $D_q(x)$ 、自己相關関数 $K_q(x_1, x_2)$ といった確率特性値を評価することが必要となる。本研究では、モンテ・カルロシミュレーション法により $\bar{q}(x)$ の確率特性値を評価する。シミュレーションに用いるデータとしては、最近行われた阪神高速道路公団の荷荷重実態調査結果<sup>2)</sup>を用いる。シミュレーションパラメータとして、車重、車長、前後荷重比という車両に関するものと、車種別混入率、車間距離という渋滞時の交通流を特徴づけるものを考える。ここに、前後荷重比とは自動車荷重を図-1(a)に示すような長方形分布荷重へモデル化するときの前部と後部の高さの比のことである。本研究では、これら5つのシミュレーションパラメータに関して表-1に示すいくつかの比較パターンについてパラメータ解析を行って、不規則分布荷重 $\bar{q}(x)$ の確率特性値の評価を行うことにするが、まずここでは表-1に示す「基本A」のパターンについて $\bar{q}(x)$ の確率特性値を評価することにする。まず、渋滞時における車列を構成する車両を乗用車、中型車類、大型車類、トレーラーの4種類に分類し、各車種の重量、車長の確率特性値は表-2に示す値とする。こ

のようなデータを基に図-2に示す手順に従ってシミュレーションを行った。その結果を示したのが図-3お

よび図-4である。図-3は $\bar{q}(x)$ の期待値 $\bar{q}(x)$ 、分散 $D_q(x)$ で、それぞれ座標 $x$ に無関係な定数、すなわち $\bar{q}=0.4586 \text{ t/m}$ 、 $D_q=0.4064 \text{ t}^2/\text{m}^2$ で表わすことができる。図-4は自己相關関数 $K_q(x)$  ( $x=x_2-x_1$ ) で2点間の座標値の差でのみの関数で表わされ、シミュレーション結果を回帰近似すれば、 $K_q(x)=0.4064 \exp(-0.3164|x|)$ が得られる。このように、都市高速道路高架橋における渋滞時荷荷重を定常な不規則分布荷重 $\bar{q}(x)$ でモデル化することができることがわかる。

3. シミュレーションパラメータが不規則分布荷重の確率特性値に及ぼす影響 表-1に示す比較パターンに対

表-1

項目	パラメータ名	標準的な渋滞時荷荷重			参考文献
		基本 A	標準 B	標準 C	
車重	t	1.7	1.7	1.7	0.6 < t < 2 (t/m)
車長	m	4.0	4.0	4.0	2.7 m < m
前後荷重比		1.0	1.0	1.0	
車種別混入率		3.9	9.4	1.0	
車間距離	m	3.8	3	2	

表-2

車種別	車種別			
	車重(t)	車長(m)	前後荷重比	車種別(%)
乗用車	1.50	4.0	1.3	3.3
中型車類	4.91	7.67	2.23	1.3
大型車類	17.06	9.44	3.05	2.5
トレーラー	21.27	10.28	8.05	9.5

注: 車種別混入率は、乗用車: 1, 中型車類: 2, 大型車類: 2, トレーラー: 2, 2.27%。

表-3 (a) 内にシミュレーション結果の内訳を記載する。

\* Simulation Results  
 $\bar{q}=0.4586 \text{ t/m}$

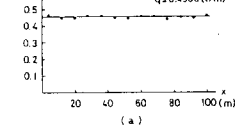


図-3

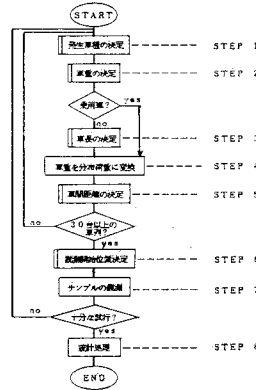
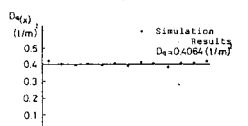


図-2

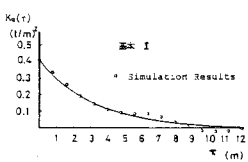


図-4

表-3

パターング	$\bar{x}$ (t/m)	$D_q$ (t <sup>2</sup> /m <sup>2</sup> )	$\alpha$ (m <sup>-1</sup> )
基本 I	0.4586	0.4084	0.3164
基本 II	0.9691	0.9463	0.4010
基本 III	0.3431	0.2289	0.3130

して各シミュレーション・パラメータが不規則分布荷重  $\bar{x}(x)$  の確率特性値に及ぼす影響について調べる。まず、混入率の変化による影響について調べる。混入率の異なる3つのパターン「基本I」、「基本II」、「基本III」のシミュレーションによって得られた  $\bar{x}$ ,  $D_q$ ,  $\alpha$  を表-3に、 $K_q(t)$  を図-5にそれぞれ示す。図-5からわかるように、大型車混入率の高い「基本II」の場合で  $t=7$  m付近から負の値が現われ、 $K_q(t)$  の指標関数との適合性はあまりよくない。したがって、 $\alpha$  という特性はこのことを踏まえてみる必要がある。「基本I, II, III」の結果を  $\bar{x}$ ,  $D_q$ ,  $\alpha$  という3つの特性値で代表できるものとして、上述した結果をわかり易くするために、これらを乗用車混入率に対して図-6にプロットしてみた。この図から  $\bar{x}(x)$  の期待値  $\bar{x}$  と分散  $D_q$  は、乗用車混入率の増加に対してほぼ直線的に減少していることがわかる。また、 $\alpha$  は乗用車混入率の変化によって大きな影響を受けないことがわかる。次に、車長の扱い方という比較パターンAについて考察する。基本パターンでは乗用車の車長を確定量とする以外、車長は車重に対して独立な確率量として扱っている。これに対し A<sub>1</sub> では車長を平均値に固定した場合を考え、A<sub>2</sub> では車重との間に相関関係を有する確率量として扱う場合を考え、それらの結果を基本パターンの結果と比較する。A<sub>2</sub> の場合は、図-2のフローチャートのSTEP3の車長を決定するとき、車重のために発生させた乱数をそのまま用ひることによって車重と車長に相関性をもたらした。このシミュレーション結果を図-7に示す。この図からわかるように  $\bar{x}$  は車長の扱い方によってほとんど変化しないが、分散は多少変化している。つづいて、渋滞時の走行速度と関係づけた車間距離の違いによる影響を調べるために比較パターンBについて考える。「基本I」および B<sub>2</sub>, B<sub>4</sub>, B<sub>6</sub>, B<sub>8</sub> は車間距離を確定量とし、その値としてはそれぞれの走行速度に対応する車間距離の期待値を用いた。また、B<sub>1</sub>, B<sub>3</sub>, B<sub>5</sub>, B<sub>7</sub> においては、車間距離を表-4に示す確率特性を有する対数正規分布に従う確率量とした。この場合のシミュレーション結果を図-8および図-9に示す。これらの図においては、横軸に平均車間距離をとり縦軸に  $\bar{x}$  と  $D_q$  をそれぞれ示している。いずれの図においても、○印は車間距離を確定量としたもので、+印は確率量としたものである。これらの図からわかるように、車間距離が大きくなるに従って、 $\bar{x}$  や  $D_q$  が小さくなる。また、車間距離を確定量とする場合と確率量とする場合との違いによる影響は、 $\bar{x}$  にはほとんど現れないが  $D_q$  にわずかにその影響が現われ、確率量として扱った場合の方が  $D_q$  がわずかに大きくなっている。

4.まとめ 以上示したように、ここで行ったシミュレーションでは比較的データに恵まれたため、各パターンの条件を実際の交通状況とある程度結びつけ表示することができた。これらの条件が  $\bar{x}(x)$  の確率特性値に与える影響については、他の条件との相対的な比較のみが可能であって、どの程度の違いが重大でまたどの程度なら無視し得るかという絶対的な評価はできない。すなわち、 $\bar{x}(x)$  の特性値の差が高架橋の断面力の特性値あるいは信頼度に与える影響を見て、初めて判断ができるものである。<sup>3)</sup> そして改めて、渋滞時荷重を規定するパラメータをどのように選ぶべきかという点を見直すことができるであろう。そうして図-6, 8, 9などの図を用いれば、新しく得られた観測データに対して改めてシミュレーションを行わなくても、都市高速道路高架橋の渋滞時荷重をモデル化することができる。最後に、貴重な資料を提供していただいた HDL 委員会関係各位に感謝いたします。

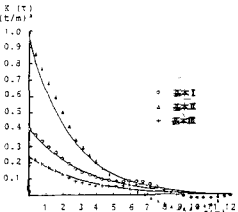


図-5

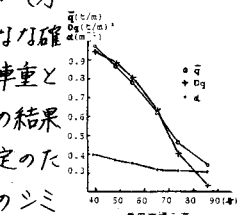


図-6

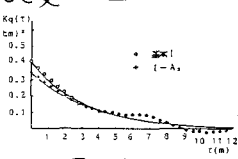


図-7

表-4

平均車速 V (km/h)	平均車間距離 (m)	標準車間距離 (m)	最大車間 (m)	最小車間 (m)
0 ≤ V < 2	2.71	1.49	11.0	1.0
0 ≤ V < 4	3.05	1.72	12.0	1.0
0 ≤ V < 6	3.48	2.03	13.0	1.0
0 ≤ V < 10	4.34	2.55	18.0	1.0
0 ≤ V < 30	6.38	3.98	22.0	1.0

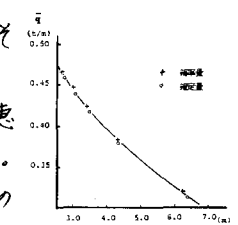


図-8

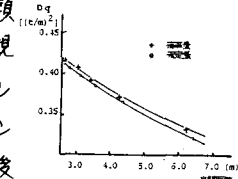


図-9

1) 高岡・白木・松澤：不規則荷重論に基づく道路高架の空間領域での信頼性解析、土木学会輸送報告集、第33号、pp.77-88、1983-6.  
2) 阪神高速道路公团設計荷重(HDL)委員会・活荷重分科会資料、第4回～第13回資料、No.213～No.619号、1982-1984.  
3) 白木・高岡・松澤・山本：都市高速道路高架橋における主材の信頼性解析、第1回日本年次学術講演会講演概要集、1984-10.